

I-31 二次剪断変形を考慮した連続曲線箱桁橋の解析

鳥取大学 正員 神部俊一

1. まえがき

桁軸線が、一定の弯曲率で変形する純曲げの場合には正しい平面保持の仮定を設けることによって得られる変位に基礎を置いた桁の曲げ理論に対して、エネルギー論的な考察に基いて或る断面定数を導入すれば、剪断変形の影響を取り入れることができるのは周知の通りであるが、捩り率が一定の仮定の基に導かれる St. Venant のそり変位に基礎を置く曲げ捩り理論に対しても、類似の考えを適用して或る断面定数 λ を導入すれば、捩り率が一定でないが為に生じるニ次剪断変形の影響を近似的に取り扱うことができる。

桁軸線が直線の場合について、R. Heilig, W. Grage, G. Sedlacek 等によって導かれた、上述の考えに従った曲げ振り理論式を円弧曲線箱桁橋の場合に拡張した理論式については、既に発表した⁽¹⁾。三径間連続曲線合成箱桁橋に関して、新しく導入された断面定数 ν の影響を調べる為に数値計算を行なつたので、ここに、その結果を報告する。

2. 解析方法

モリ変位は、捩り率 $\psi_x(\theta)$ の代りに極座標 θ の或る関数 $X(\theta)$ に比例すると仮定しており、2次捩りモーメント T_w を用いると、 X と ψ との間には次の関係が成立する。

$$\chi(\theta) = \psi_x(\theta) - \frac{T_w}{\nu G J}$$

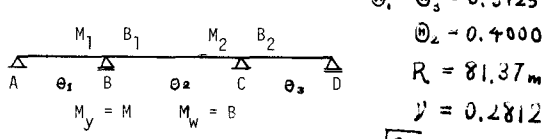
従って、 $\lambda \rightarrow \infty$ の極限を考えると、 $X(\theta) = \psi_x(\theta)$ となり従来の曲げ挠り理論式に移行する。解析方法は応力法によった。即ち、中間支承上の断面の曲げモーメント M_y と曲げ捩りモーメント M_w を不静定量に選ぶと、横軸線の傾み角 $\delta \equiv \frac{1}{R} \frac{dw}{dx}$ と、せり変位、即ち、 $\delta \equiv x$ との連続条件から次の弾性方程式を樹てることができる。

$$M_1 \delta_{11}^M + M_2 \delta_{12}^M + B_1 \delta_{11}^B + B_2 \delta_{12}^B + \delta_{10} = 0$$

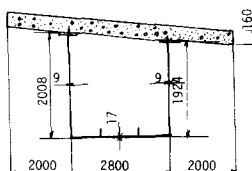
$$M_1 \delta_{21}^M + M_2 \delta_{22}^M + B_1 \delta_{21}^B + B_2 \delta_{22}^B + \delta_{20} = 0$$

$$M_1 \gamma_{11}^M + M_2 \gamma_{12}^M + B_1 \gamma_{11}^B + B_2 \gamma_{12}^B + \gamma_{10} = 0$$

$$M_1 \gamma_{z_1}^M + M_2 \gamma_{z_2}^M + B_1 \gamma_{z_1}^B + B_2 \gamma_{z_2}^B + \gamma_{z_0} = 0$$



$$R @ \frac{GJ}{SC} \rightarrow 32.22$$



2

図-1、図-2に示す桟橋構造、および断面諸元を有する3径間連続合成箱形橋について求めた、単位振り荷重に対する各種断面力の影響線を図-3～図-6に示す。

断面定数 ν を考慮した場合を実線で、 $\nu \rightarrow \infty$ の場合を上曳錐線で表示している。

3. 要 約

(1). 断面定数 ν を考慮することにより、中間支承上り断面の曲げ振りモーメントは減少する。この例では、影響面積は従来の理論の45%程度に減少した。

(2). 1次振りモーメント T_s と2次振りモーメント T_w との総和は、断面の振りモーメントであつて、当然、従来の理論との間に相違はないが、その比率が異なるので断面の剪断流の分布が異なる。

この影響は、振りの拘束の大きい中間支承附近の断面において著しい。

(3). 曲げモーメントも断面定数 ν の影響を受けるが、影響面積にして5%程度の差異が認められるに過ぎず、その影響は微少である。

(4). 表示していないが、鉛直荷重に対する各種断面力の影響線は、断面定数 ν を考慮しても殆んど差が認められなかった。

4. 参考文献

(1) 小西、白石、神部；

円弧曲線橋の曲げ振り理論について

第14回 橋梁構造工学発表会

講演集

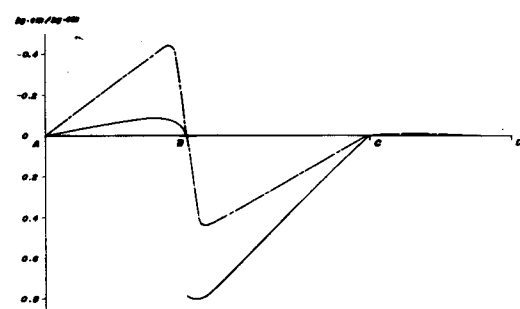


図 3 支点Bの直ぐ右側の断面の1次ねじりモーメント T_B の影響線

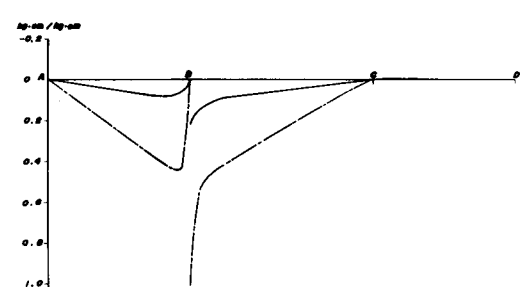


図 4 支点Bの直ぐ右側の断面の2次ねじりモーメント T_w の影響線

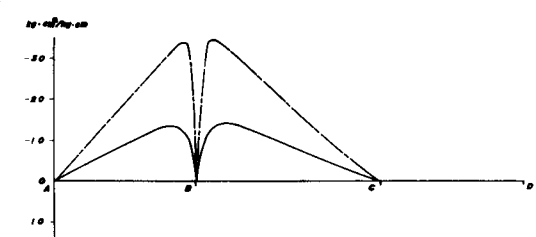


図 5 支点B上の断面の曲げねじりモーメント M_y の影響線

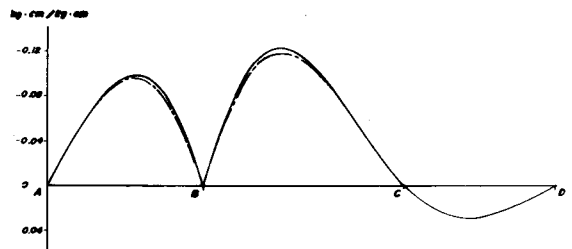


図 6 支点B上の断面の曲げモーメント M_y の影響線